

Особенности спонтанных и индуцированных магнитным полем магнитоупорядоченных фаз в сплавах системы $Mn_{2-x}Fe_xAs_{0,5}P_{0,5}$

В.И. Вальков, Д.В. Варюхин, А.В. Головчан

Донецкий физико-технический институт им. А.А. Галкина НАН Украины
ул. Р. Люксембург, 72, г. Донецк, 83114, Украина
E-mail: valkov@dpmst.fti.ac.donetsk.ua

Статья поступила в редакцию 29 ноября 2007 г., после переработки 4 февраля 2008 г.

Проведено экспериментальное и теоретическое исследование фазовой диаграммы системы $Mn_{2-x}Fe_xAs_{0,5}P_{0,5}$. Обнаружено существование антиферромагнитной фазы для сплавов с $x < 0,7$. Показано, что в низкотемпературной фазе в области $0,5 < x < 0,8$, которая обладает спонтанной намагниченностью, могут существовать ферромагнетизм и антиферромагнетизм. Эта фаза может быть описана как склонная ферромагнитная структура. Рассчитана электронная структура сплава $Mn_{1,5}Fe_{0,5}As_{0,5}P_{0,5}$ в ферромагнитном и немагнитном состояниях. Сопоставление рассчитанных и экспериментальных значений магнитного момента формульной единицы показывает, что чистое ферромагнитное состояние реализуется только в сплавах с $x > 0,8$, для которых эти величины находятся в хорошем согласии. Построена модель, позволяющая корректно описать основные черты спонтанных и индуцированных магнитным полем магнитоупорядоченных состояний, наблюдавшихся в исследуемой системе. В качестве параметров модели выступают степень заполнения d -зоны, немагнитная плотность электронных состояний и внутриатомный обменный интеграл. Их величины оцениваются по данным расчетов электронной структуры из первых принципов. Модель позволила предсказать и экспериментально обнаружить существование тройной точки на диаграмме состояний исследуемых сплавов.

Проведено експериментальне й теоретичне дослідження фазової діаграми системи $Mn_{2-x}Fe_xAs_{0,5}P_{0,5}$. Виявлено існування антиферомагнітної фази для сплавів з $x < 0,7$. Показано, що низькотемпературна фаза в області $0,5 < x < 0,8$, якій критаманна спонтанна намагніченість, може являти собою співіснування феромагнетизму й антиферомагнетизму та описуватися як склонена феромагнітна структура. Розраховано електронну структуру сплаву $Mn_{1,5}Fe_{0,5}As_{0,5}P_{0,5}$ у феромагнітному й немагнітному станах. Зіставлення розрахованих і експериментальних значень магнітного моменту формульної одиниці показує, що чистий феромагнітний стан реалізується тільки в сплавах з $x > 0,8$, для яких ці величини перебувають у гарній згоді. Побудовано модель, що дозволяє коректно описати основні риси спонтанних та індукованих магнітним полем магнітоупорядкованих станів, що спостерігаються у системі, що досліджується. Як параметри моделі виступають ступінь заповнення d -зони, немагнітна густина електронних станів і внутрішньоатомний обмінний інтеграл. Їхні величини оцінюються за даними розрахунків електронної структури з перших принципів. Модель дозволила передбачити й експериментально виявити існування потрійної точки на діаграмі станів сплавів, що досліджувались.

PACS: 71.20.Bv Переходные металлы и сплавы;
75.50.Ee Антиферромагнетики;
75.50.Gg Ферримагнетики;
75.10.Lp Зонные и коллективизированные модели;
75.30.Kz Границы магнитных фаз.

Ключевые слова: антиферромагнетики, ферримагнетики, электронная структура, плотность электронных состояний, тройная точка.

Введение

Интерес к исследованиям физико-химических характеристик железомарганцевых пниктидов, в част-

ности сплавов системы $Mn_{2-x}Fe_xAs_{1-y}P_y$, обусловлен перспективой их использования в качестве рабочих материалов для магнитных рефрижераторов. Это связано с обнаруженным недавно в ряде сплавов

исследуемой системы гигантским магнитокалорическим эффектом (МКЭ), который сопровождает индуцированные магнитным полем фазовые переходы парамагнетизм–ферромагнетизм (ПМ–ФМ) [1]. Наиболее резкое изменение энтропии и сопутствующий ему резкий рост калорических эффектов происходит при индуцировании магнитным полем перехода ПМ–ФМ вблизи температуры спонтанных переходов в ферромагнитную фазу [1,2]. Магнитные охлаждающие устройства на базе индуцированных магнитных фазовых переходов беспорядок–порядок рассматриваются в настоящее время в качестве эффективной экологически чистой замены существующим парогазовым компрессионным холодильникам, работающим в области комнатных температур. Другое перспективное применение — получение и хранение жидкого водорода. Оно обусловлено глобальными планами ускоренного развития водородной энергетики и замены углеводородных энергоносителей на водород. Эффективное решение задачи магнитного охлаждения до низких температур требует наличия ряда рабочих материалов с широким диапазоном температур индуцируемых магнитных фазовых переходов, которым сопутствует гигантский МКЭ. В этом отношении перспективны исследования индуцированных магнитным полем переходов порядок–порядок, в которых одна из низкотемпературных фаз не обладает спонтанной намагниченностью. В роли такой фазы могут выступать антиферромагнитная (АФ) или спиральная структуры, возникновению которых в системе $Mn_{2-x}Fe_xAs_{0,5}P_{0,5}$ может предшествовать парамагнитная или ферромагнитная фаза. Однако наряду с прикладным значением исследования сплавов этой системы представляют фундаментальный интерес, поскольку свойства этих материалов обусловлены сильной взаимосвязью магнитной, кристаллической и электронной структур. Такая взаимосвязь, во-первых, часто приводит к стабилизации магнитоупорядоченных состояний, классификация которых выходит за рамки традиционных ферромагнетизма и антиферромагнетизма [3]; во-вторых, иногда порождает очень сильную или аномально слабую зависимость физических свойств от внешнего давления [4,5].

Эти и другие особенности, связанные с классификацией низкотемпературных спонтанных и индуцированных магнитным полем состояний в антиферромагнитных сплавах системы $Mn_{2-x}Fe_xAs_{0,5}P_{0,5}$, являются предметом настоящих исследований.

1. Методики эксперимента

Основные экспериментальные результаты получены при исследовании температурных зависимостей начальной восприимчивости $\chi(T)$ и изотермических

полевых зависимостей намагниченности $\sigma(H)$ поликристаллических сплавов системы $Mn_{2-x}Fe_xAs_{0,5}P_{0,5}$. Полевые зависимости $\sigma(H)$ измерены в импульсном магнитном поле напряженностью до 300 кЭ. Измерения в импульсном магнитном поле проводились с помощью индукционной методики на импульсном магнитометре, аналог которого описан в работе [6]. Индукционная методика использовалась также при измерениях начальной магнитной восприимчивости в слабом периодическом магнитном поле ($H \leq 100$ Э) в диапазоне звуковых частот. Температурные зависимости параметров кристаллической решетки измеряли на рентгеновском дифрактометре Дрон-1,5.

2. Экспериментальные результаты

Сплавы $Mn_{2-x}Fe_xAs_{0,5}P_{0,5}$ в изучаемом диапазоне концентраций ($0,5 \leq x < 1,0$) сохраняют гексагональную кристаллическую структуру типа Fe_2P (группа симметрии $P\bar{6}2m$), для которой характерно наличие двух неэквивалентных кристаллографических позиций, занятых атомами переходных металлов. В образцах этой системы с $x > 0,6$ при понижении температуры на линии $aebc$ (рис. 1) наблюдаются магнитные фазовые переходы первого рода, которые сопровождаются возникновением спонтанной намагниченности и анизотропным изменением параметров кристаллической решетки a и c [5]. Линия $aebc$ была построена на основе измерений температурных зависимостей начальной восприимчивости $\chi(T)$ в слабом переменном магнитном поле. При этом температура исчезновения спонтанной намагниченности определялась экстраполяцией зависимостей $\chi(T)$ к нулевым значениям. Зависимость намагниченности насыщения от

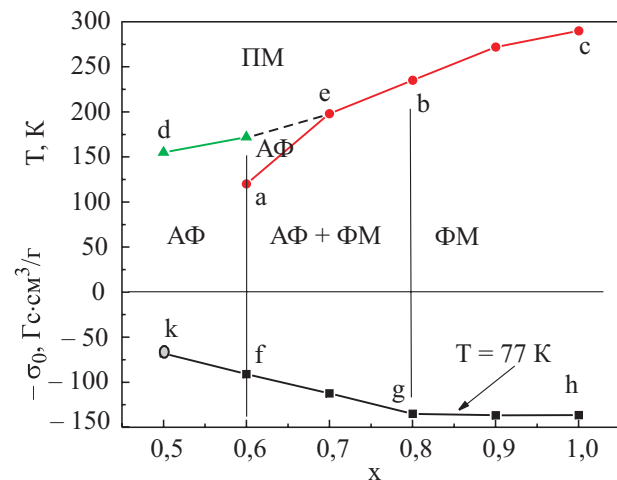


Рис. 1. Экспериментальная диаграмма состояний системы $Mn_{2-x}Fe_xAs_{0,5}P_{0,5}$: fgh — зависимость намагниченности насыщения спонтанно возникающей фазы при $T = 77$ К; точка k соответствует экстраполированной намагниченности насыщения, индуцированной магнитным полем фазы; $aebc$ — температуры возникновения спонтанной намагниченности; de — температура Нееля.

концентрации $\sigma_0(x)$ описывается кривой fgh с изломом в окрестности точки g ($x \approx 0,8$). Величину $\sigma_0(x)$ измеряли при намагничивании образцов в импульсном магнитном поле при $T = 77$ К и определяли, как показано на рис. 2. Видно, что в образце $Mn_{1,5}Fe_{0,5}As_{0,5}P_{0,5}$ (рис. 2, $x = 0,5$) спонтанная намагниченность отсутствует, и намагниченность насыщения соответствует новой индуцированной магнитным полем фазе. Эта фаза существует только в полях с напряженностью, большей второго критического поля $H_{c2}(T) > 0$ во всем диапазоне температур. Величины первого $H_{c1} > H_{c2}$ и второго критических полей, измеряемые по положениям максимума полевых зависимостей производных $d\sigma/dH(H)$, определяют размеры полевого гистерезиса $\Delta H(T) = H_{c1} - H_{c2}$ при индуцированных магнитным полем переходах первого рода. Отметим, что для образцов с $x \geq 0,6$ индуцированные переходы первого рода также наблюдаются, но только выше линии $aebc$. На этой линии первое (H_{c1}) и второе ($H_{c2} \approx H_{c1}$) критические поля, описывающие границы возникновения и исчезновения индуцированной магнитным полем ФМ фазы, равны нулю. При этом точка b ($x = 0,8$) является началом излома зависимости $\sigma_0(x)$, которая на участке bea практически линейно понижается при уменьшении концентрации железа. Отсутствие спонтанной намагниченности при низких температурах для образцов с $x \leq 0,5$ можно связать с появлением антиферромагнитного порядка. Для исследуемого образца это подтверждается появлением пика на температурной зависимости магнитной восприимчивости $\chi(T)$, измеренной в переменном магнитном поле напряженностью $H \approx 60$ Э на частоте 1 кГц (рис. 3). Положение максимума этого пика на оси температур определяет температуру Нееля T_N [5]. Подобный вывод косвенно подтверждается данными нейтронографии [7] для сплавов родственной системы $MnFeP_{1-y}As_y$, в которых температурный диапазон стабильности антиферромагнитной фазы ограничен температурой появления пика $\chi(T)$. В работе [7] установлено, что магнитные моменты атомов железа и марганца

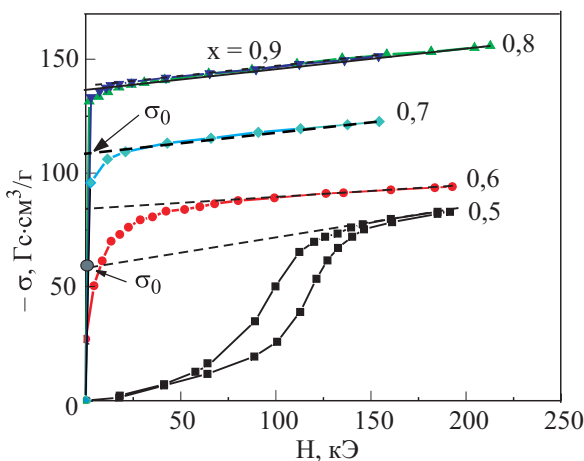


Рис. 2. Полевые зависимости намагниченности, измеренные при $T = 77$ К.

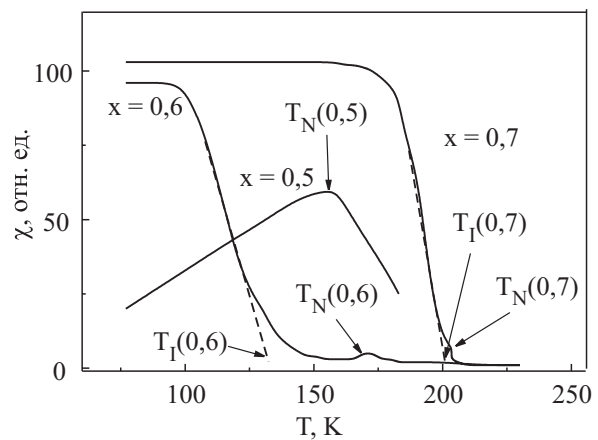


Рис. 3. Температурные зависимости магнитной восприимчивости для образцов системы $Mn_{2-x}Fe_xAs_{0,5}P_{0,5}$.

в ферромагнитной и антиферромагнитной фазах лежат в плоскости $a - c$ гексагональной решетки $C22$, а волновой вектор антиферромагнитной структуры направлен вдоль оси u . Для образцов с $x = 0,6$ и $0,7$, в которых низкотемпературное состояние обладает спонтанной намагниченностью, аналогичные пики также возникают на зависимостях $\chi(T)$, однако только выше температуры исчезновения намагниченности (линия ae на рис. 1). При этом по мере увеличения концентрации железа пик трансформируется в уплощение ($x = 0,7$) и при $x > 0,8$ не наблюдается (рис. 3). Зависимость определенной таким образом температуры Нееля от концентрации железа $T_N(x)$ описывается кривой de (рис. 1).

Появление двух линий фазовых переходов беспорядок–порядок (линия de) и порядок–порядок (линия ae) для сплавов с концентрацией железа $x < 0,8$ в сочетании с появлением излома на концентрационной зависимости намагниченности насыщения может свидетельствовать об определенных изменениях магнитной структуры низкотемпературной фазы этих сплавов. Наиболее доступным способом проверки этого предположения стали теоретические исследования фазовой диаграммы системы $Mn_{2-x}Fe_xAs_{0,5}P_{0,5}$ на основе результатов расчета из первых принципов и модельных представлений.

3. Особенности кристаллической структуры, детали и результаты *ab initio* расчетов

Для исследования спин-поляризованной электронной структуры сплавов $Mn_{2-x}Fe_xAs_{0,5}P_{0,5}$ нами применен полностью релятивистский метод Корринги–Кона–Ростокера (пакет SPRKKR [8]). При построении кристаллического потенциала использовалось приближение атомной сферы. Обменно-корреляционную энергию вычисляли в приближении локальной плотности без учета градиентных поправок [9].

В сплавах $Mn_{2-x}Fe_xAs_{0,5}P_{0,5}$ при $x \leq 1$ атомы Fe и Mn_I занимают позиции с тетраэдрическим ($I \equiv 3f$, $(x(3f), 0, 0)$), Mn_{II} — с пирамидальным ($II \equiv 3g$, $(x(3g), 0, 1/2)$) окружением атомов мышьяка и фосфора, которые, в свою очередь, предполагаются равновероятно распределенными по позициям $2c$ и $1b$ [7, 10]. Таким образом, элементарная ячейка содержит три формульных единицы. Расчет спин-поляризованной электронной структуры сплавов для ферромагнитного порядка проводился нами в приближении когерентного потенциала для модели неупорядоченного сплава, в которой предполагалось, что атомы Fe_I и Mn_I распределены хаотически по тетраэдрическим позициям, а атомы As и P — хаотически по позициям $2c$ и $1b$. При этом объем элементарной ячейки был одинаков для всех концентраций железа и соответствовал экспериментальным данным для сплава с $x = 0,5$ при 300 К ($a = 6,13 \text{ \AA}$, $c = 3,49 \text{ \AA}$ [11]). Параметры позиций атомов железа и марганца: $x(3f) = 0,257$, $x(3g) = 0,580$.

Как стало ясно при обработке рассчитанных электронных спектров, наиболее удобными интегральными характеристиками, которые можно сопоставить с экспериментально измеряемыми свойствами системы $Mn_{2-x}Fe_xAs_{0,5}P_{0,5}$, являются степень заселенности магнитоактивной зоны (N_d^{NM} , N_d^{FM}) и магнитный момент элементарной ячейки в ФМ состоянии (M_0) (рис. 4), а также немагнитная и спин-поляризованные зависимости плотности электронных состояний от энергии (рис. 5). На рис. 5 видно, что исследуемые сплавы являются проводящими и $3d$ -электронные состояния на уровне Ферми дают наибольший вклад в транспортные свойства. Сопоставление рассчитанных M_0 и экспериментальных M_{0exp} зависимостей магнитного момента формульной единицы (M_{0exp} вычисляли из намагниченности насыщения σ_0 для каждого из образцов при 77 К) от концентрации железа показывает, что чистое ФМ состояние на практике реализуется только в сплавах с $x \geq 0,8$, для которых M_0 и M_{0exp} находятся в хорошем согласии (рис. 5). При меньших концентрациях железа экспериментальные и теоретические зависимости магнитного момента качественно расходятся: теоретическая зависимость M_0 продолжает возрастать, а экспериментальная M_{0exp} — понижаться. При этом число занятых d -состояний в немагнитном ($N_d^{NM}(x)$) и ферромагнитном ($N_d^{FM}(x)$) состояниях во всем диапазоне x — практически линейные возрастающие функции (рис. 4). Как показал детальный анализ, уменьшение числа d -электронов в ферромагнитном состоянии по сравнению с немагнитным обусловлено переходом части d -электронов в s , p -зоны в процессе ферромагнитной раздвижки спиновых d -зон. С учетом того, что при изменении концентрации железа форма плотности состояний меняется незначительно, величина N_d^{NM} становится

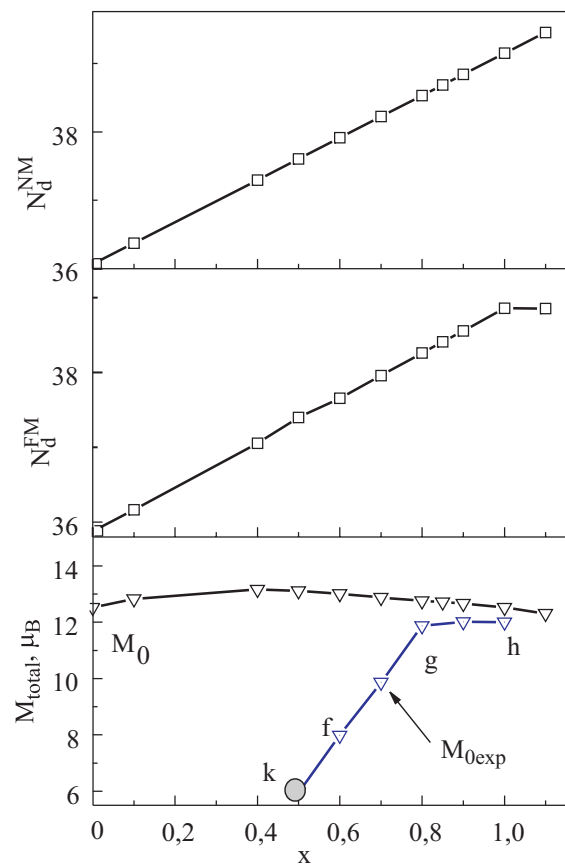


Рис. 4. Зависимости полного магнитного момента M и числа d -электронов в элементарной ячейке в немагнитной (N_d^{NM}) и ферромагнитной (N_d^{FM}) фазах от концентрации железа; M_0 и M_{0exp} — расчетные и экспериментальные значения магнитного момента кристаллохимической ячейки.

основным параметром электронной подсистемы, изменение которого коррелирует с кардинальными изменениями характеристик магнитоупорядоченных фаз в $Mn_{2-x}Fe_xAs_{0,5}P_{0,5}$. Рассчитанные локальные магнитные моменты для $Mn_{1,5}Fe_{0,5}As_{0,5}P_{0,5}$ составляют $M(Fe_I) = 1,5775 \mu_B$, $M(Mn_I) = 1,7927 \mu_B$, $M(Mn_{II}) = 2,7925 \mu_B$, что согласуется с данными нейтронографии [7] для $MnFeAs_{0,5}P_{0,5}$ ($M(Fe_I) = 1,48 \mu_B$, $M(Mn_{II}) = 2,02 \mu_B$).

Таким образом, сравнение результатов расчетов из первых принципов с данными эксперимента показало, что поведение сплавов системы $Mn_{2-x}Fe_xAs_{0,5}P_{0,5}$ только в диапазоне $0,8 \leq x \leq 1,0$ соответствует ФМ фазе. Можно сделать вывод, что переходы первого рода на линии bc (рис. 1) связаны с разупорядочением ферромагнитной фазы. Расхождение расчетов и экспериментальных данных для образцов с $x < 0,8$ может быть вызвано существованием антиферромагнитного вклада в магнитоупорядоченной фазе ниже линии aeb , аналогичного тому, который исследован в [7]. Косвенным доказательством этого служит кривая намагничивания низкотемпературного состояния для образца $Mn_{0,5}Fe_{0,5}As_{0,5}P_{0,5}$ (рис. 2) и аномальное поведение

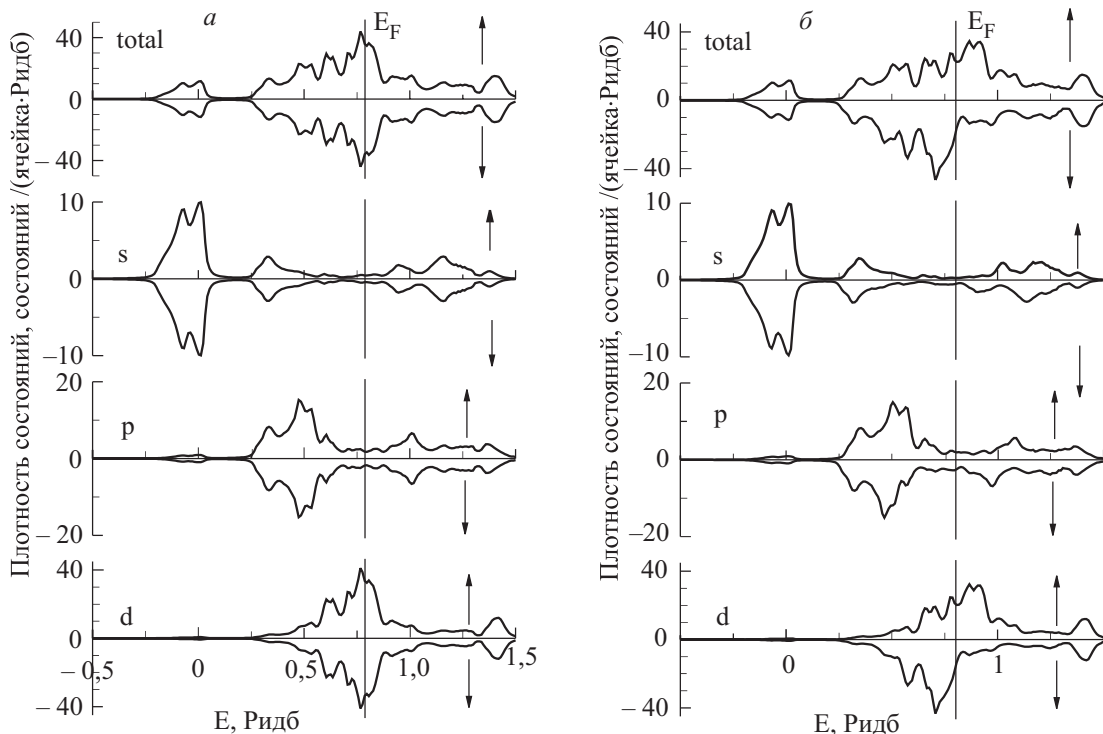


Рис. 5. Немагнитная (а) и ферромагнитная (б) полные и парциальные плотности электронных состояний $\text{Mn}_{1.5}\text{Fe}_{0.5}\text{As}_{0.5}\text{P}_{0.5}$. Вертикальной линией обозначен уровень Ферми.

температурной зависимости магнитной восприимчивости в переменном магнитном поле, которая имеет пик вблизи $T = 160$ К, характерный для переходов параметризм–антиферромагнетизм. Для теоретического исследования этого вопроса было бы целесообразно иметь спин-поляризованные электронные спектры для различных вариантов магнитной структуры в удвоенной кристаллохимической ячейке. Однако самосогласованный расчет из первых принципов электронной структуры шестикомпонентного неупорядоченного сплава с 18 атомами в (удвоенной) элементарной ячейке в настоящее время находится за гранью технических возможностей используемых нами методов. Поэтому при дальнейшем анализе фазовой диаграммы $\text{Mn}_{2-x}\text{Fe}_x\text{As}_{0.5}\text{P}_{0.5}$ мы ограничились моделированием антиферромагнитной фазы, согласно модели, параметры которой возможно оценить по рассчитанной из первых принципов электронной структуре ферромагнитного и немагнитного состояний.

4. Модель скошенного антиферромагнетизма

В настоящей работе с целью более полного теоретического исследования диаграммы состояний сплавов системы $\text{Mn}_{2-x}\text{Fe}_x\text{As}_{0.5}\text{P}_{0.5}$ используется комбинированный подход. Основная идея заключается в применении подходящей модели для описания спиновой поляризации электронной системы при использовании некоторых точных результатов, рассчитанных

из первых принципов. К последним можно отнести такие интегральные характеристики электронной зонной структуры, как немагнитная плотность электронных состояний $G(\epsilon)$ и число заполненных состояний магнитоактивной зоны в немагнитном состоянии $N_d^{NM}(x)$.

Модель строится следующим образом. Каждой элементарной ячейке исходного соединения, содержащей 9 атомов, поставим в соответствие один магнитоактивный узел, на котором электрон может находиться в двух состояниях: «спин вверх» и «спин вниз». Чтобы не заботиться об изменении симметрии решетки при возникновении антиферромагнитного упорядочения в системе, искусственно удвоим элементарную ячейку вдоль одной из осей. Теперь антиферромагнитное состояние можно учсть как частный случай ферромагнитного, если с каждым узлом a, b связать существование двух типов спиновых поляризаций электронного спектра: ферромагнитной (F) (2) и антиферромагнитной (L) (3). Им можно сопоставить такие макроскопические характеристики, как неприводимые векторы ферромагнетизма $\langle F \rangle$ и антиферромагнетизма $\langle L \rangle$. В системе $\text{Mn}_{2-x}\text{Fe}_x\text{As}_{0.5}\text{P}_{0.5}$ ферромагнитный момент направлен вдоль оси Z , антиферромагнитный момент — вдоль оси X , а волновой вектор антиферромагнитной структуры — вдоль Y [7].

Гамильтониан Хаббарда для такой системы в однородном внешнем поле $\mathbf{H} = (0, 0, H_Z)$ имеет вид [3]

$$\begin{aligned} \mathcal{H} = & \sum_{\sigma=\pm, k} \gamma_k (a_{k\sigma}^+ a_{k\sigma} + b_{k\sigma}^+ b_{k\sigma}) + \\ & + \sum_{\sigma=\pm, k} t_k (a_{k\sigma}^+ b_{k\sigma} + b_{k\sigma}^+ a_{k\sigma}) - \\ & - 2\tilde{J} \sum_j (\mathbf{F}_j^2 + \mathbf{L}_j^2) + 2H_Z \sum_j F_j^Z, \end{aligned} \quad (1)$$

$$\mathbf{F}_j = \frac{\mathbf{S}_{a,j} + \mathbf{S}_{b,j}}{2}, \quad (2)$$

$$\mathbf{L}_j = \frac{\mathbf{S}_{a,j} - \mathbf{S}_{b,j}}{2}, \quad (3)$$

$$S_{\alpha,j}^X = \frac{(S_{\alpha,j}^+ + S_{\alpha,j}^-)}{2}, \quad S_{\alpha,j}^Y = \frac{(S_{\alpha,j}^+ - S_{\alpha,j}^-)}{2i},$$

$$S_{\alpha,j}^Z = \frac{\alpha_{j\uparrow}^+ \alpha_{j\uparrow} - \alpha_{j\downarrow}^+ \alpha_{j\downarrow}}{2},$$

$$S_{\alpha,j}^+ = \alpha_{j\uparrow}^+ \alpha_{j\downarrow}, \quad S_{\alpha,j}^- = \alpha_{j\downarrow}^+ \alpha_{j\uparrow},$$

$$\begin{aligned} \mathbf{S}_{\alpha,Q} = & \sum_j \mathbf{S}_{\alpha,j} e^{i\mathbf{Q}\mathbf{R}_j}, \quad S_{\alpha,Q}^+ = \sum_k \alpha_{k+Q\uparrow}^+ \alpha_{k\downarrow}, \\ S_{\alpha,Q}^- = & \sum_k \alpha_{k+Q\downarrow}^+ \alpha_{k\uparrow}, \end{aligned}$$

$$S_{\alpha,Q}^Z = \sum_k \frac{\alpha_{k+Q\uparrow}^+ \alpha_{k\uparrow} - \alpha_{k+Q\downarrow}^+ \alpha_{k\downarrow}}{2},$$

где индексами $\alpha = a, b$ обозначены позиции атомов в удвоенной кристаллохимической ячейке j ; $a_{k\sigma}, b_{k\sigma}$ — фурье-компоненты операторов уничтожения электронов в позициях a, b соответственно; $\sigma = \uparrow\downarrow \equiv +, -$ — спин электрона; $\mathbf{S}_{a,j}, \mathbf{S}_{b,j}$ — операторы спиновой плотности в соответствующих позициях j -й ячейки; \tilde{J} — эффективный внутриатомный обменный интеграл; t_k и γ_k — фурье-компоненты интегралов переноса электронов между ближайшими атомами разных сортов (ab, ba) и одного сорта (aa, bb) соответственно.

Рассмотрим наиболее близкую к реализуемой в системе $Mn_{2-x}Fe_xAs_{0,5}P_{0,5}$ ситуацию [7], когда ферромагнитная компонента спиновой поляризации направлена вдоль оси Z , а антиферромагнитная — вдоль оси X . Удвоение ячейки происходит вдоль оси Y . Свободная энергия системы, описываемой гамильтонианом (1), в приближении среднего поля (по аналогии с [3]) имеет вид

$$\begin{aligned} \tilde{F} = & \tilde{E}(\langle F^Z \rangle, \langle L^X \rangle) + \tilde{J} \langle F^Z \rangle^2 + \tilde{J} N_0 \langle L^X \rangle^2 + \\ & + \left(\frac{V - V_0}{V_0} \right)^2 \frac{1}{2\tilde{\kappa}} + \tilde{P}V, \end{aligned} \quad (4)$$

$$\begin{aligned} \tilde{E}(\langle F^Z \rangle, \langle L^X \rangle) = & \\ = & \sum_{m=1}^4 \sum_k \Theta(\tilde{\mu} - \tilde{E}_m(\mathbf{k}, \langle F^Z \rangle, \langle L^X \rangle)) \tilde{E}_m(\mathbf{k}, \langle F^Z \rangle, \langle L^X \rangle), \end{aligned} \quad (5)$$

$$\begin{cases} \tilde{E}_1(\mathbf{k}, \langle F^Z \rangle, \langle L^X \rangle) = \gamma_k + \sqrt{t_k - \tilde{J} \left(\langle F^Z \rangle - \frac{H_Z}{2\tilde{J}} \right)^2 + \tilde{J}^2 \langle L^X \rangle^2} \\ \tilde{E}_2(\mathbf{k}, \langle F^Z \rangle, \langle L^X \rangle) = \gamma_k - \sqrt{t_k - \tilde{J} \left(\langle F^Z \rangle - \frac{H_Z}{2\tilde{J}} \right)^2 + \tilde{J}^2 \langle L^X \rangle^2}, \\ \tilde{E}_3(\mathbf{k}, \langle F^Z \rangle, \langle L^X \rangle) = \gamma_k + \sqrt{t_k + \tilde{J} \left(\langle F^Z \rangle - \frac{H_Z}{2\tilde{J}} \right)^2 + \tilde{J}^2 \langle L^X \rangle^2}, \\ \tilde{E}_4(\mathbf{k}, \langle F^Z \rangle, \langle L^X \rangle) = \gamma_k - \sqrt{t_k + \tilde{J} \left(\langle F^Z \rangle - \frac{H_Z}{2\tilde{J}} \right)^2 + \tilde{J}^2 \langle L^X \rangle^2} \end{cases}, \quad (6)$$

где $\tilde{E}(\langle F^Z \rangle, \langle L^X \rangle)$ — зонная энергия электронов, $\tilde{\kappa}$ — сжимаемость, \tilde{P} — внешнее давление, \tilde{J} — внутриатомный обменный интеграл, $\tilde{E}_m(k, \langle F^Z \rangle, \langle L^X \rangle)$ — ветви электронного спектра; $\Theta(y)$ — функция Хэвисайда.

В качестве масштаба энергии выберем W_0 , совпадающую по порядку величины с шириной немагнитной плотности состояний, и проведем «обезразмеживание» уравнений. Тогда в приближении среднего

поля безразмерная свободная энергия на атом $F = \tilde{F}/(N_0 W_0)$ примет вид

$$F = E(m, l) + J \left(m + \frac{\hbar}{2J} \right)^2 + J l^2 + \frac{\omega^2}{2\kappa} + p(\omega+1), \quad (7)$$

$$E(m, l) = \frac{1}{N_0} \sum_{m=1}^4 \sum_k \Theta(\mu - E_m(\mathbf{k}, m, l)) E_m(\mathbf{k}, m, l), \quad (8)$$

где $\omega = (V - V_0)/V_0$ — относительное изменение объема, $h = H_Z/W_0$, $J = \tilde{J}/W_0$, $\mu = \tilde{\mu}/W_0$, $m = \langle F^Z \rangle - H_Z/2\tilde{J}$, $l = \langle L^X \rangle$, $p = \tilde{P}V_0/W_0$, $\kappa = \tilde{\kappa}N_0W_0$.

Если предположить, что $\gamma_k \approx \text{const}$ — почти не зависит от волнового вектора и просто определяет положение центра зоны, то удается ввести «затравочную» плотность электронных состояний

$$g_0(\varepsilon) = \frac{V_{\text{cell}}}{(2\pi)^3} \int \delta(\varepsilon - t_k/W_0) d^3 k, \quad \int g_0(\varepsilon) d\varepsilon = 1 \quad (9)$$

и перейти в (8) от суммирования по зоне Бриллюэна к интегрированию по энергии. При этом используется стандартное соотношение

$$\sum_k (\dots) = \frac{1}{2} \frac{V_{\text{cell}} N_0}{(2\pi)^3} \int (\dots) d^3 k, \quad (10)$$

где V_{cell} — объем элементарной ячейки, N_0 — число элементарных кристаллохимических ячеек в кристалле. Множитель $1/2$ в (10) связан с тем, что суммирование производится по волновым векторам, лежащим внутри зоны Бриллюэна удвоенной ячейки, а число таких ячеек в два раза меньше числа кристаллохимических ячеек. Можно показать, что «затравочная» плотность состояний (с учетом сделанных выше приближений) в нашей модели отличается от немагнитной плотности электронных состояний только выбо-

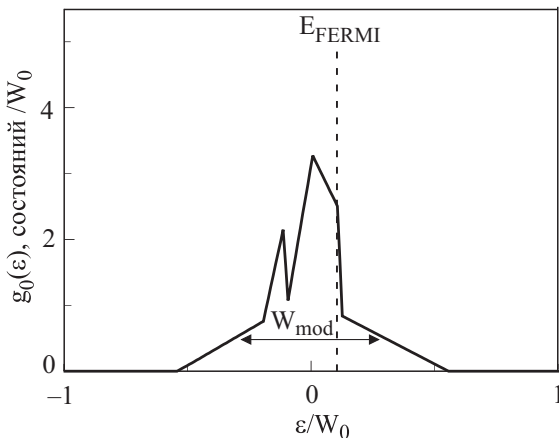


Рис. 6. Модельная «затравочная» плотность электронных состояний.

ром начала отсчета энергии. Поэтому можно учесть особенности электронного строения различных веществ, выбирая $g_0(\varepsilon)$ (рис. 6), которое повторяет основные черты немагнитной плотности d -электронных состояний $G(E)$, рассчитанной из первых принципов для исследуемого вещества (см. рис. 5, a). Влияние гидростатического давления на электронный спектр учтем через зависимость ширины «затравочной» плотности электронных состояний от относительного изменения объема ω :

$$g(\varepsilon, \omega) = g_0(\varepsilon(1-\alpha\omega)^{-1}) / \int_{-\infty}^{\infty} g_0(\varepsilon(1-\alpha\omega)^{-1}) d\varepsilon, \quad (11)$$

где α — постоянная, которая характеризует степень уширения зоны при сжатии решетки, а знаменатель обеспечивает сохранение полного числа состояний в зоне.

Величины m, l можно рассматривать как параметры магнитного порядка, равновесные значения которых минимизируют термодинамический потенциал (6). Полная система уравнений с условиями экстремума термодинамического потенциала $\partial F/\partial m = 0$, $\partial F/\partial l = 0$, уравнениями для равновесного объема $\partial F/\partial \omega = 0$ (16) и химического потенциала (17) имеет вид

$$F = E(m, l) + J \left(m + \frac{\hbar}{2J} \right)^2 + J l^2 + \frac{\omega^2}{2\kappa} + p(\omega+1), \quad (12)$$

$$E(m, l) = \frac{1}{2} \sum_{m=1}^4 \int g(\varepsilon, \omega) \Theta(\mu - E_m(\varepsilon, m, l)) E_m(\varepsilon, m, l) d\varepsilon, \quad (13)$$

$$\begin{cases} E_1(\varepsilon, m, l) = E_0 + \sqrt{(\varepsilon - Jm)^2 + J^2 l^2} \\ E_2(\varepsilon, m, l) = E_0 - \sqrt{(\varepsilon - Jm)^2 + J^2 l^2} \\ E_3(\varepsilon, m, l) = E_0 + \sqrt{(\varepsilon + Jm)^2 + J^2 l^2} \\ E_4(\varepsilon, m, l) = E_0 - \sqrt{(\varepsilon + Jm)^2 + J^2 l^2} \end{cases}$$

$$h = -2Jm - 2J \frac{\partial E(m, l)}{\partial m}, \quad (14)$$

$$0 = 2Jl + \frac{\partial E(m, l)}{\partial l}, \quad (15)$$

$$\frac{\omega}{\kappa} = -p - \frac{1}{2} \int \frac{\partial g(\varepsilon, \omega)}{\partial \omega} \sum_{m=1}^4 \Theta(\mu - E_m(\varepsilon, m, l)) E_m(\varepsilon, m, l) d\varepsilon, \quad (16)$$

$$n \equiv \frac{N}{N_0} = \frac{1}{2} \int g(\varepsilon, \omega) \sum_{m=1}^4 \Theta(\mu - E_m(\varepsilon, m, l)) d\varepsilon, \quad (17)$$

$$M = -\frac{\partial F}{\partial h} = -m - \frac{h}{2J}, \quad (18)$$

где $n \in [0, 2]$ — число электронов, приходящихся на один магнитоактивный атом в модели; M — магнитный момент (намагниченность) модели.

Решения системы уравнений (12)–(18) ищутся при условии постоянства числа электронов в зоне n и заданной «затравочной» плотности электронных состояний $g_0(\varepsilon)$, которые наряду с величинами J , α считаются «измеряемыми» параметрами модели. Как будет показано ниже, их можно оценить по данным расчетов из первых принципов, что может, на наш взгляд, служить некоторым оправданием модельного подхода и ряда сделанных нами упрощений.

5. Методика вычислений

Анализ решений системы уравнений (12)–(18) проводился при сравнении формы расчетных и экспериментальных кривых намагничивания, полученных для конкретной концентрации железа в сплавах системы $\text{Mn}_{2-x}\text{Fe}_x\text{As}_{0,5}\text{P}_{0,5}$. При этом «затравочная» плотность электронных состояний $g_0(\varepsilon)$ (рис. 6) повторяет основные черты строения немагнитной плотности электронных состояний $G(\varepsilon)$, вычисленной из первых принципов. Поскольку последняя, как показали расчеты, практически не зависит от концентрации, то основным параметром модели, зависящим от состава, является $n(x)$. Для сплава с заданной концентрацией железа x величина $n(x)$ вычисляется по формуле

$$\begin{aligned} n(x) = & \{3N_d(\text{Mn}_{3f})(1-x) + 3N_d(\text{Fe}_{3f})x + \\ & + 3N_d(\text{Mn}_{3g}) + 2 \cdot 0,5N_d(\text{P}_{2c}) + 2 \cdot 0,5N_d(\text{As}_{2c}) + \\ & + 0,5N_d(\text{P}_{1b}) + 0,5N_d(\text{As}_{1b})\}/30, \end{aligned} \quad (19)$$

где первые два слагаемых в фигурных скобках соответствуют числу d -электронов, приходящихся на марганец и железо в тетраэдрических ($3f$) позициях кристаллохимической ячейки; третье слагаемое — число d -электронов в пирамидальных ($3g$) позициях марганца; четвертое и пятое слагаемые — число d -электронов в позициях As/P с симметрией $2c$, шестое и седьмое — число d -электронов в позициях As/P с симметрией $1b$. Все эти величины определялись напрямую по результатам расчетов из первых принципов.

Формула (19) связывает полное число (N_d^{NM}, N_d^{FM}) d -электронов в кристаллохимической ячейке с числом магнитоактивных электронов n , приходящихся на один узел в нашей модели для сплавов системы $\text{Mn}_{2-x}\text{Fe}_x\text{As}_{0,5}\text{P}_{0,5}$ с концентрацией железа $x \leq 1,0$.

Величину обменного интеграла выбирали так, чтобы отношение обменного расщепления в модели ($2Jm$) к «эффективной ширине» основного пика модельной

плотности состояний W_{mod} был близко к данным расчетов из первых принципов ($\Delta W/W$), где ΔW — относительное смещение спиновых подзон для ФМ состояния ($0,8 < x \leq 1,2$). В качестве «эффективной ширины» W_{mod} и величины W выбирали ширину зоны проводимости на четверти максимальной высоты. В нашей модели $J = 0,525$, $W_{\text{mod}} = 0,62$, $\alpha = 0,2$.

Магнитоупорядоченные состояния системы $\text{Mn}_{2-x}\text{Fe}_x\text{As}_{0,5}\text{P}_{0,5}$ исследованы по зависимости намагниченности $M(h)$ и параметра порядка $l(h)$ в нашей модели от величины внешнего магнитного поля h и степени заполнения магнитоактивной зоны $n(x)$ при атмосферном давлении ($p = 0$).

Для построения зависимости намагниченности от внешнего поля $M(h)$ решаем систему уравнений (12)–(18), т.е. для данного h находим m , l , ω , минимизирующие свободную энергию (12) при условии постоянства n .

Для сопоставления экспериментально наблюдаемых магнитоупорядоченных состояний с их описанием в терминах параметров магнитного порядка модели примем следующее. Полагаем, что антиферромагнитное состояние соответствует решению $m = 0$, $l \neq 0$ при $h = 0$. Ферромагнитное состояние описывается решением $l = 0$, $m \neq 0$ при $h = 0$. Система (12)–(18) также допускает решение, описывающее сосуществование ферромагнетизма и антиферромагнетизма (СФМ, «скошенное состояние»): $m \neq 0$, $l \neq 0$, $0 \leq h \leq h_c$, где h_c — граница устойчивости «скошенного состояния». В полях $h > h_c$ возможно существование только ФМ состояния.

6. Анализ решений

Используя зависимость числа электронов от концентрации $n(x)$, полученную по данным расчетов из первых принципов согласно (19), приведем графики $M(h)$, $l(h)$ для нескольких решений системы (12)–(18) с заданными «затравочной» плотностью электронных состояний (рис. 6) и величиной $J = 0,525$. Для более точной идентификации основного состояния системы приведены графики зависимости свободной энергии от M при $h = 0$.

6.1. Антиферромагнитная фаза

Согласно экспериментальным данным (рис. 2), сплавы системы $\text{Mn}_{2-x}\text{Fe}_x\text{As}_{0,5}\text{P}_{0,5}$ в области $x \leq 0,5$ не обладают спонтанным магнитным моментом в отсутствие внешнего поля. Число электронов в d -зоне элементарной ячейки для $x = 0,5$ составляет $N_d^{NM} = 37,606$ и $N_d^{FM} = 37,398$ для немагнитного и ферромагнитного состояний соответственно. Согласно (19), этому соответствует $n = 1,2535 = N_d^{NM}/30$ в исследуемой модели. На рис. 7,а приведены зависимости намагниченности $M(h)$, вектора антиферромагнетизма $l(h)$ от приложен-

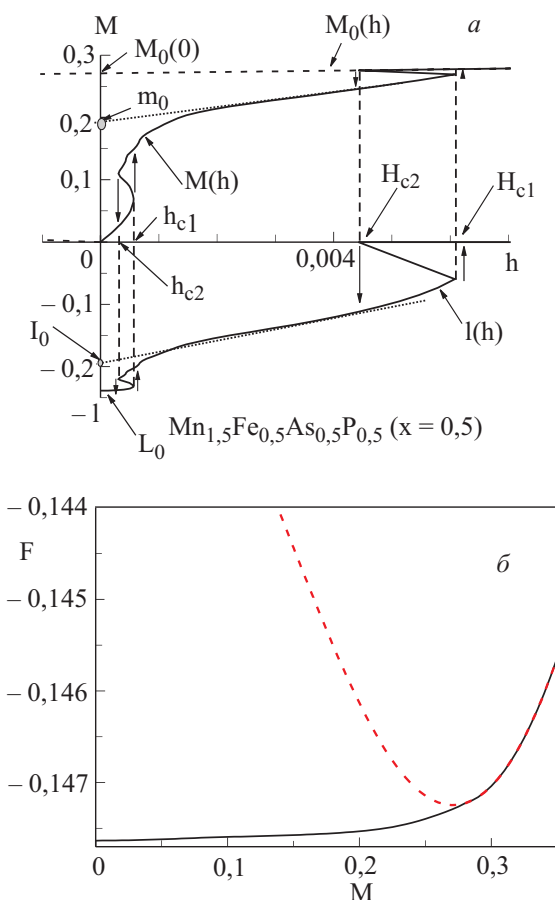


Рис. 7. Расчетные полевые зависимости параметров магнитного порядка (а) и энергетическая устойчивость фаз (б), вычисленные при $n = 1,2535$. Штриховой линией обозначены кривые, относящиеся к ФМ фазе ($l \equiv 0$).

ного магнитного поля, а также зависимость намагниченности для ФМ состояния $M_0(h)$. Приведенные графики можно интерпретировать следующим образом. В полях значительно меньших первого критического поля (h_{c1}) система (12)–(18) допускает «подмагниченное» антиферромагнитное ($0 < m \ll m_0, 0 < l < l_0$) и энергетически менее выгодное чистое ферромагнитное ($l \equiv 0, M_0(h)$) решения. В магнитных полях с напряженностью большей h_{c1} происходит переход первого рода в фазу сосуществования ферромагнетизма и антиферромагнетизма, результатом чего является скачкообразное увеличение параметра m и уменьшение параметра l . В новой фазе намагниченность насыщения увеличивается при возрастании магнитного поля и экстраполированное значение зависимости $M(h)$ к нулевому полю равно $m_0 > 0$. В экспериментально недостижимой области полей с напряженностью $h \approx H_{c1}$ происходит скачкообразное индуцирование ФМ состояния ($l \equiv 0, m \neq 0$), сопровождающееся исчезновением компоненты l . Ферромагнитное состояние метастабильно в отсутствие внешнего поля (рис. 7, б). Таким образом, в полном соответствии с экспериментальными данными (рис. 2 и 4) и

расчетами из первых принципов ($N_d^{NM} = 37,605$) исходное состояние образца $Mn_{2-x}Fe_xAs_{0.5}P_{0.5}$ является антиферромагнитным, а наблюдаемые индуцированные переходы (рис. 2) соответствуют переходам порядок–порядок. При этом индуцированное состояние может быть фазой сосуществования ферромагнетизма и антиферромагнетизма, к рассмотрению которой мы перейдем ниже.

6.2. Фаза сосуществования ферромагнетизма и антиферромагнетизма

Согласно экспериментальным данным, в области $0,6 \leq x \leq 0,8$ сплавы $Mn_{2-x}Fe_xAs_{0.5}P_{0.5}$ обладают спонтанным магнитным моментом, величина которого увеличивается с ростом концентрации железа. Число d -электронов в элементарной ячейке меняется от $N_d^{NM} = 37,915$ и $N_d^{FM} = 37,655$ до $N_d^{NM} = 38,534$ и $N_d^{FM} = 38,259$ для $x = 0,6$ и $0,8$ соответственно. Поэтому в исследуемой области $1,2638 \leq n \leq 1,2845$. Анализ решений системы (12)–(18) в указанном диапазоне n (остальные параметры считались неизменными) показал, что энергетически наиболее выгодной (см. рис. 8, б) является

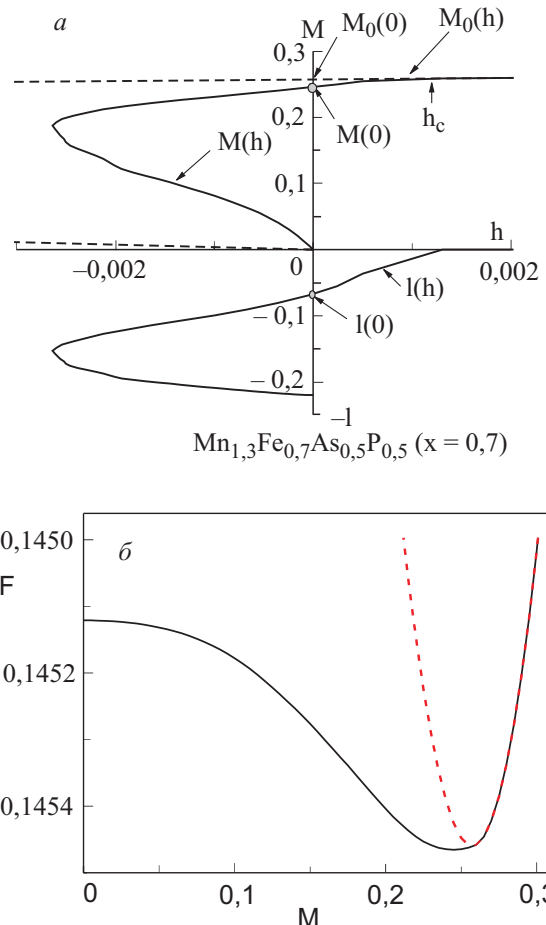


Рис. 8. Расчетные полевые зависимости параметров магнитного порядка (а) и энергетическая устойчивость фаз (б), вычисленные при $n = 1,2741$. Штриховой линией обозначены кривые, относящиеся к ФМ фазе ($l \equiv 0$).

ся фаза сосуществования ферромагнетизма и антиферромагнетизма (СФМ, $m \neq 0$, $l \neq 0$, $0 \leq h \leq h_c$, рис. 8,*a*). Причем исчезновение этих компонент при изменении внешних условий может происходить путем последовательности магнитных фазовых превращений. В данном случае, поскольку низкотемпературной является фаза СФМ, при повышении температуры было бы случайным совпадением, если бы оба фазовых превращения (исчезновение одного из параметров порядка m или l) происходили при единой температуре для любого n из указанного интервала. Более вероятным, на наш взгляд, является следующая последовательность магнитных фазовых переходов: СФМ \rightarrow АФ \rightarrow ПМ. Следовательно, линия *aeb* ($0,6 \leq x \leq 0,8$) на рис. 1 должна соответствовать температуре перехода порядок–порядок (СФМ–АФ) и выше нее должна быть линия переходов порядок–беспорядок (АФ–ПМ). Тогда излом кривой *fgf* в точке *g* на рис. 1 и 4 при $x = 0,8$ может означать тройную точку (начало разделение фаз ФМ и СФМ). Именно это предположение побудило нас провести более тонкие экспериментальные исследования температурного участка выше линии *aeb* и обнаружить дополнительную линию *de*, описывающую зависимость температуры разрушения антиферромагнитного порядка от концентрации. Исходя из фазовой диаграммы (рис. 1) можно полагать, что для образцов с $x < 0,8$ возникновение спонтанной намагниченности на линии *ab* является следствием магнитного фазового перехода порядок–порядок (СФМ–АФ). Линия *af* — зависимость температуры устойчивости АФ фазы $T_1(x)$ от концентрации железа.

6.3. Ферромагнитная фаза

В области концентраций $0,8 \leq x \leq 1,0$ система $Mn_{2-x}Fe_xAs_{0,5}P_{0,5}$ обладает спонтанным магнитным моментом, который почти не зависит от x . Число d -электронов в элементарной ячейке меняется от $N_d^{NM} = 38,534$ и $N_d^{FM} = 38,259$ до $N_d^{NM} = 39,456$, $N_d^{FM} = 38,855$ для $x = 0,8$ и $1,1$ соответственно. В исследуемой области ($1,2845 \leq n \leq 1,3152$) наименьшей энергией в нулевом поле обладает ферромагнитное ($m \neq 0$, $l = 0$, рис. 9,*b*) решение системы (12)–(18). Таким образом, для образцов с $x > 0,8$ возникновение спонтанной намагниченности на линии *bc* является магнитным фазовым переходом первого рода беспорядок–порядок, в роли магнитоупорядоченной фазы выступает ферромагнитная фаза, а линия *bc* — зависимость температуры Кюри от концентрации железа $T_C(x)$. Тогда индуцированные магнитным полем переходы первого рода выше T_C также являются переходами беспорядок–порядок (ПМ \leftrightarrow ФМ) и подобны переходам в арсениде марганца [2]. Именно они в системе $Mn_{2-x}Fe_xAs_{0,5}P_{0,5}$ могут оказаться наиболее пригодными для практического использования высокотемпературного магнитокалорического эффекта, поскольку наряду с удобным

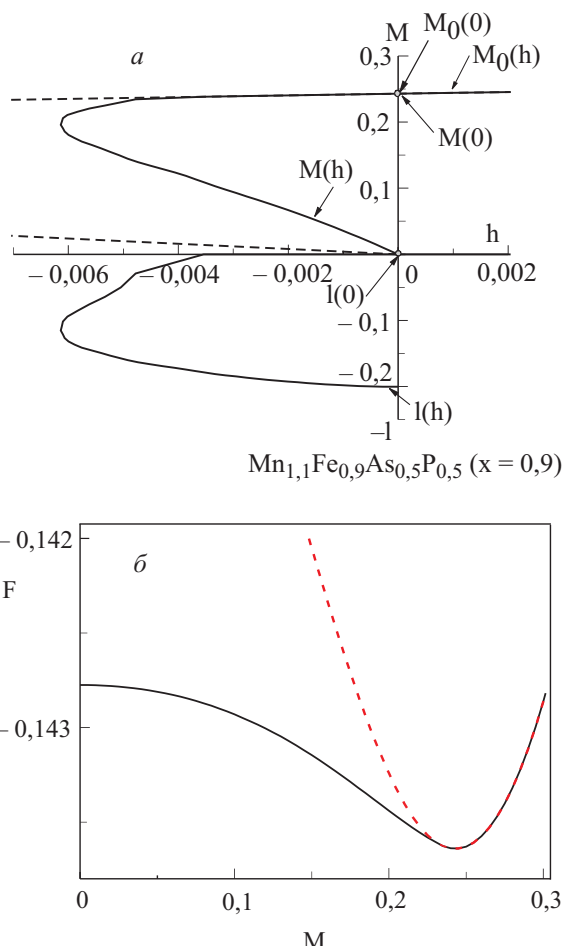


Рис. 9. Расчетные полевые зависимости параметров магнитного порядка (*a*) и энергетическая устойчивость фаз (*b*), вычисленные при $n = 1,2948$. Штриховой линией обозначены кривые, относящиеся к ФМ фазе ($l \equiv 0$).

температурным интервалом они сопровождаются значительным изменением намагниченности в процессе индуцированного перехода $\Delta\sigma \sim \sigma_0$ и большой крутизной спонтанного перехода $d\sigma/dT$, что важно для практического использования. От этих характеристик, согласно [2], зависит абсолютная величина магнитокалорического эффекта.

Модельная фазовая диаграмма ($M_{0\text{mod}}, m_0, l_0$) — на рис. 10 дает общее представление о границах магнитоупорядоченных фаз системы $Mn_{2-x}Fe_xAs_{0,5}P_{0,5}$. На рис. 10 величины магнитных моментов приведены к их аналогам в кристаллохимической ячейке с шестью магнитоактивными атомами, каждый из которых содержит пять (предположительно) эквивалентных d -орбиталей. Сравнение этой диаграммы с экспериментальными и расчетными зависимостями магнитного момента от концентрации (рис. 4) при некотором количественном расхождении показывает очевидное качественное сходство в поведении зависимостей $M_0(x)$ и $M_{0\text{mod}}(x)$, $M_{0\text{exp}}(x)$ и $m_0(x)$. Учитывая взаимосвязь

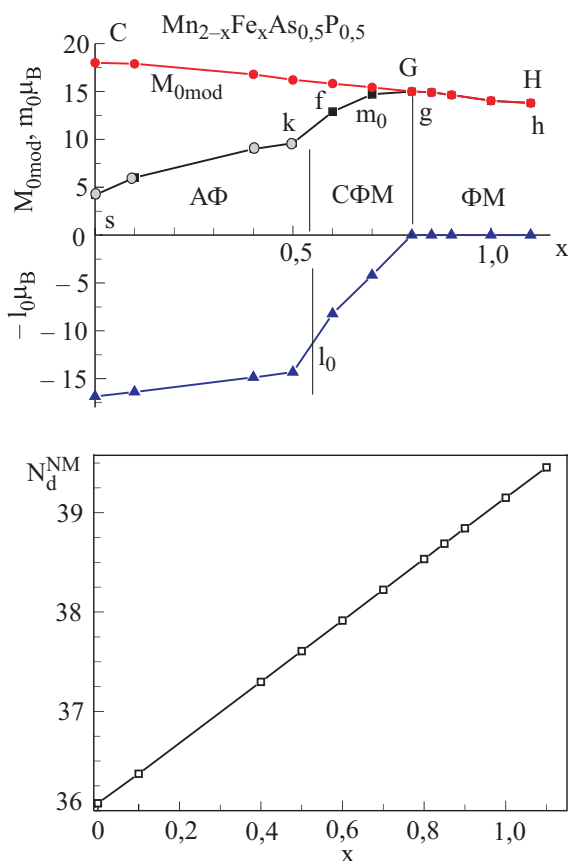


Рис. 10. Диаграмма состояний модели. Линия sk — экстраполированная к нулю зависимость намагниченности насыщения индуцированной магнитным полем фазы СФМ (рис. 7); fg — намагниченность насыщения спонтанно возникающей фазы СФМ; CGH — намагниченность метастабильной (CG) и стабильной (GH) фаз ФМ ($l=0$); параметр антиферромагнитного порядка $l(x)$ рассчитывали в нулевом поле.

поведения $m_0(x)$ и $l_0(x)$, можно идентифицировать участки экспериментальной диаграммы hg , gf на рис. 4 с позиции предельно допустимых в системе $\text{Mn}_{2-x}\text{Fe}_x\text{As}_{0.5}\text{P}_{0.5}$ концентраций железа для ферромагнитной фазы ($0.8 \leq x \leq 1$), фазы сосуществования ферромагнетизма и антиферромагнетизма ($0.6 \leq x < 0.8$) и чистой антиферромагнитной фазы $x \leq 0.5$. Слияние кривых CGH и $skfg$ на рис. 10 и почти полное совпадение аналогичных линий на рис. 4 означает, что в диапазоне концентраций железа $0.8 \leq x \leq 1.1$ число электронов в магнитоактивной зоне допускает только ферромагнитное решение системы (12)–(18). Кардинальное расхождение этих кривых в области $x < 0.8$ на обоих рисунках можно связать с появлением антиферромагнитного вклада в магнитный момент системы. Этот вклад нарастает с понижением концентрации железа и описывается кривой $l(x)$ на рис. 10. Кривая sk дает представление о величинах магнитного момента индуцированной фазы СФМ в области абсолютной

устойчивости антиферромагнитной фазы. Эти данные позволяют дать сравнительную оценку величин магнитокалорических эффектов при индуцированных переходах порядок–порядок (АФ–СФМ) и беспорядок–порядок (ПМ–ФМ), которые можно наблюдать (рис. 2) при различных содержаниях железа в системе $\text{Mn}_{2-x}\text{Fe}_x\text{As}_{0.5}\text{P}_{0.5}$.

7. Заключение

В данной работе расчеты электронной структуры системы $\text{Mn}_{2-x}\text{Fe}_x\text{As}_{0.5}\text{P}_{0.5}$ проводились для параметров кристаллической ячейки, соответствующих сплаву с $x = 0.5$. Предварительные расчеты с учетом экспериментальной зависимости параметров решетки $c(x)$, $a(x)$ для каждого из исследуемых образцов не дают качественных отличий. Форма плотности состояний, величина магнитных моментов в ФМ фазе и число электронов в d -зоне близки в количественном отношении. Это дает основания полагать, что основные приближения используемого подхода не вносят существенных искажений в особенности магнитного поведения исследуемой системы и интерпретация основного состояния сплавов в диапазоне $0.6 \leq x \leq 0.8$ как фазы сосуществования ферромагнетизма и антиферромагнетизма соответствует действительности.

В заключение отметим, что использование комбинированного подхода, в котором учитывается сосуществование различных типов спиновой поляризации электронной структуры, показало, что фундаментальные изменения магнитных свойств основного состояния при изменении содержания железа в исследуемой системе обусловлены только изменением степени заполнения магнитоактивной зоны. При конечных температурах это является причиной появления последовательности магнитных фазовых переходов по температуре для образцов с $x < x_c$ и тройной точки при $x = x_c \approx 0.7$ – 0.8 (рис. 1 и 10), что оказывается важным в прикладном плане, поскольку предсказывает различные типы магнитокалорических эффектов в сплавах с различным содержанием исходных компонентов системы $\text{Mn}_{2-x}\text{Fe}_x\text{As}_{0.5}\text{P}_{0.5}$.

Работа выполнена в рамках проекта №14.1/024 ГФФИ Украины.

1. R. Zach, M. Guillot, J.C. Picoche, and R. Fruchart, *IEEE Transact. Magnet.* **29**, 3252 (1993).
2. O. Tegus, E. Bruck, K.H.J. Buschow, and F.R. de Boer, *Nature (London)* **415**, 150 (2002).
3. В.И. Вальков, А.В. Головчан, *ФНТ* **33**, 1109 (2007).
4. В.И. Вальков, И.Ф. Грибанов, А.В. Головчан, Б.М. Тодрис, *ФНТ* **31**, 1277 (2005).
5. В.И. Вальков, Д.В. Варюхин, И.Ф. Грибанов, Б.М. Тодрис, А.П. Сиваченко, *ФТВД* **16**, 148 (2006).
6. А.Ф. Вуль, Б.М. Тодрис, *ПТЭ* **5**, 208 (1989).

7. M. Bacmann, J.-L. Soubeyroux, R. Garrett, D. Fruchart, R. Zach, S. Niziol, and R. Fruchart, *J. Magn. Magn. Mater.* **134**, 59 (1994).
8. *The Munich SPR-KKR package, version 3.6*, H. Ebert et al., <http://olymp.cup.uni-muenchen.de/ak/ebert/SPRKRR>; H. Ebert, Fully relativistic band structure calculations for magnetic solids — Formalism and Application, in *Electronic Structure and Physical Properties of Solids*, H. Dreysse (ed.), Lecture Notes in Physics, vol. 535, p. 191, Springer New York (2000).
9. S.H. Vosko and L. Wilk, *Phys. Rev.* **B22**, 3812 (1980).
10. A. Koumina, M. Bacmann, D. Fruchart, M. Mesnaoui, and P. Wolfers, *M.J. Cond. Matter* **5**, 117 (2004).
11. В.И. Каменев, не опубликовано.

Peculiarities of spontaneous and magnetic field-induced magnetically ordered phases in alloys of a $\text{Mn}_{2-x}\text{Fe}_x\text{As}_{0.5}\text{P}_{0.5}$ system

V.I. Val'kov, D.V. Varyukhin, and A.V. Golovchan

The magnetic phase diagram of the $\text{Mn}_{2-x}\text{Fe}_x\text{As}_{0.5}\text{P}_{0.5}$ system is studied experimentally and theoretically. It is found that alloys with $x < 0.7$ has an antiferromagnetic phase. It is shown that for $0.5 < x < 0.8$ the low-temperature phase possessing a spontaneous magnetization can be considered as a co-existence of ferromagnetism and antiferromagnetism

and described as a canted ferromagnetic structure. The electronic structure of $\text{Mn}_{1.5}\text{Fe}_{0.5}\text{As}_{0.5}\text{P}_{0.5}$ alloy in ferromagnetic and nonmagnetic states is calculated. The comparison of measured and calculated values of magnetic moment per formula unit shows that a pure ferromagnetic state is realized only for alloys with $x > 0.8$ where the above values are in good agreement. A model describing correctly the basic features of spontaneous and field-induced magnetically ordered states, observed in the system under consideration is constructed. The model parameters are the number of electrons in d band, density of electronic states for nonmagnetic system and intratomic exchange integral. Their values can be estimated directly by the data on electronic structure calculated from the first principles. The model has allowed predicting and observing the existence of a triple point in the magnetic phase diagram of the alloys under study.

PACS: 71.20.Be Transition metals and alloys;
75.50.Ee Antiferromagnetics;
75.50.Gg Ferrimagnetics;
75.10.Lp Band and itinerant models;
75.30.Kz Magnetic phase boundaries.

Keywords: antiferromagnetics, ferrimagnetics, electronic structure, density of electronic states, triple point.